

ные распределения активности медной проволоки и показаний зонда ТНД-А с термонейтронными датчиками в бериллиевом блоке и ТВС имеют одинаковый характер и совпадают в пределах погрешностей измерений. В водяной ловушке результаты несколько отличаются. Это отличие можно объяснить разной спектральной чувствительностью медного индикатора и термонейтронного датчика, а также недостаточной центровкой зонда в водяной ловушке (коэффициент неравномерности распределения плотности потока тепловых нейтронов по радиусу водяной ловушки  $\sim 1,2$ ). Аналогичный эффект наблюдался и в работе [7].

Полученные результаты позволяют рекомендовать зонд с термонейтронными датчиками для оперативного внутриреакторного контроля распределения плотности потока тепловых нейтронов в диапазоне от  $5 \cdot 10^{10}$  до  $\sim 10^{14}$  нейтр./ $(\text{см}^2 \cdot \text{с})$ .

Поступило в Редакцию 6.III.78

УДК 621.039.517.5

## Двумерное профилирование топливных сборок высокотемпературных газоохлаждаемых реакторов

СЕГАЛЬ М. Д., ХРИПУНОВ В. И.

В настоящее время большое значение для энергетики и получения высокопотенциального тепла начинают приобретать высокотемпературные ядерные реакторы, охлаждаемые газовым теплоносителем (ВТГР) [1]. Такие реакторы характеризуются относительно высокой теплонапряженностью в сочетании с длительным ресурсом и жесткими требованиями к предельной температуре топлива. В связи с этим весьма важным представляется выравнивание температурных полей тзволов и рабочего тела, что особенно существенно для реакторов кластерного типа.

В топливных сборках таких реакторов, состоящих из большого числа стержневых тзволов, возможно возникновение пространственной неравномерности поля тепловыделения вследствие блок-эффекта, возмущений, вносимых органами регулирования, и т. п. Неравномерность приводит к возникновению локальных перегревов рабочего тела и топлива и, следовательно, к снижению параметров топливной сборки. Перспективным для повышения выходных параметров таких сборок является двумерное профилирование поля энерговыделения концентрацией топлива. Естественно, что речь идет только о зонном профилировании, поскольку индивидуальный подбор концентраций топлива для каждого тзвала является, по-видимому, нетехнологичным (в реакторе фирмы «Галф дженерал атомикс» (США) используются сборки, включающие 270 тзволов). Методы физического профилирования, рассмотренные в работе [2], нашли дальнейшее развитие и экспериментальное обоснование в работах [3—5]. Была выявлена возможность весьма сильного воздействия изменения концентрации и соотношения объемов топлива и замедлителя на распределение источников энерговыделения в разных системах. Во многих случаях условие сохранения постоянной температуры поверхности или центра тзвала сводится к выравниванию плотности энерговыделения по объему.

Решение задач об оптимизации этих параметров по реактору в целом базируется на некоторых упрощаю-

## СПИСОК ЛИТЕРАТУРЫ

- Емельянов И. Я. и др. Управление и безопасность ядерных энергетических реакторов. М., Атомиздат, 1975.
- Дмитриев А. Б., Малышев Е. К. Нейтронные ионизационные камеры для реакторной техники. М., Атомиздат, 1975.
- Климентов В. Б., Колчинский Г. А., Фрунзе В. В. Активационные измерения потоков нейтронов и спектров нейтронов в ядерных реакторах. М., «Стандарты», 1974.
- Емельянов И. Я. и др. «Атомная энергия», 1971, т. 30, вып. 3, с. 275.
- Боланд Дж. Приборы контроля ядерных реакторов. М., Атомиздат, 1973.
- Зырянов А. П. и др. В кн.: Радиационная безопасность и защита АЭС. Вып. 2. М., Атомиздат, 1976, с. 110.
- Ломакин С. С. и др. [4], с. 301.

щих предложениях (одномерная геометрия, малогрупповой подход и т. п.). Вместе с тем при профилировании топливной сборки необходимо учитывать процессы перемешивания рабочего тела, а также локальные особенности энергораспределения. Подход, описываемый в данной работе, основан на совместном использовании многомерного нейтронно-физического расчета методом Монте-Карло [6] и теплогидравлического расчета [7], что позволило достаточно эффективно выравнивать температурное поле тзволов и газа-теплоносителя. Температурные поля рассчитывались в трехмерной геометрии для гомогенизированной тепловыделяющей среды по программе, приведенной в работе [8], на ЭВМ БЭСМ-6.

Для фиксации пространственного энергораспределения в неоднородной среде в рамках метода Монте-Карло была предложена локальная оценка потока в протяженных (нитевидных) математических детекторах. При каждом соударении нейтрона в объеме системы вклад в энерговыделение пропорционален интегралу

$$q \sim (1/A) \int \exp(-V \sqrt{x^2 + A^2}) / V \sqrt{x^2 + A^2} dx, \quad (1)$$

где  $q$  — вклад в энерговыделение от рассеяния нейтрона в точке;  $A$  — оптическое расстояние детектора до точки рассеяния нейтрона;  $X$  — оптическая длина детектора. Некоторые свойства этой оценки (однопараметрическая зависимость от  $A$ , обусловленная быстрой сходимостью по верхнему пределу) позволяют в коррелированном расчете для большого числа детекторов снизить погрешность локальной оценки энерговыделения в  $r$ , ф-геометрии до 3—5%. Соотношение концентрации топлива в зонах профилирования выбиралось исходя из равенства средних значений энерговыделения в каж-

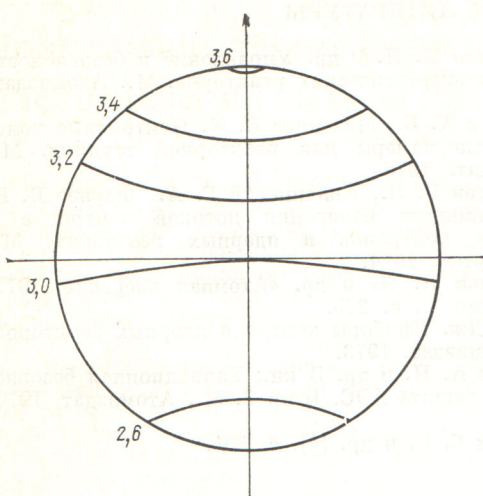


Рис. 1. Изолинии энерговыделения в условных единицах для непрофилированной топливной сборки

дой зоне с учетом ограничения по предельно допустимой температуре топлива согласно равенству

$$\int \int C_i(E) \Phi_i(r, \varphi, E) dE dS_i / \int \int \Phi_i \times \\ \times (r, \varphi, E) dE dS_i = \text{const}, \quad (2)$$

где  $S_i$  — площадь зоны профилирования;  $E$  — энергия нейтронов;  $C_i$  — концентрация топлива в зоне профилирования;  $\Phi_i$  — поток нейтронов в зоне профилирования.

Следует отметить, что для сборок с большими градиентами поля энерговыделения желательно профилировать исходя из равенства максимальных значений энерговыделения в зонах профилирования. Наиболее важным является выбор числа и конфигураций зон про-

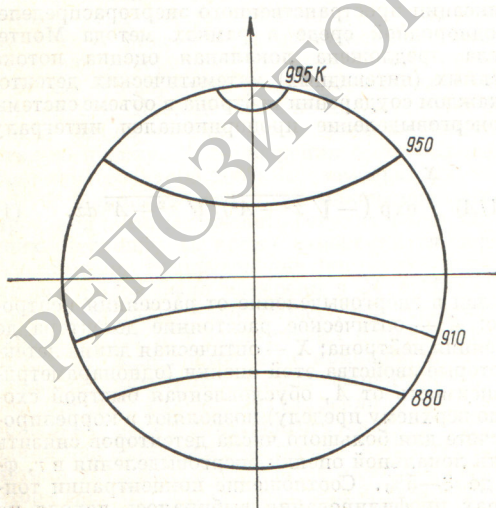


Рис. 2. Изотермы газа на выходе из непрофилированной сборки

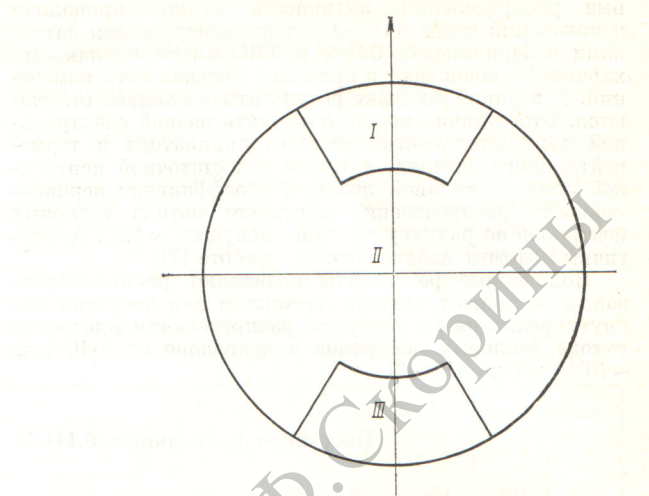


Рис. 3. Зоны профилирования

филирования. По известному полю энерговыделения для фиксированного числа концентрации топлива в твэле методом линейного программирования, описанным в работе [9], выбиралась конфигурация зон. При этом минимизировался коэффициент неравномерности энерговыделения по сечению зон профилирования. С учетом локальных особенностей энергораспределения и гидродинамики окончательно корректировалась конфигурация зон и соотношение концентрации топлива в них.

Применяя вариационную теорию, предложенную в работе [10] к задаче об оценке энерговыделения, можно показать, что поправка к точному значению при изменении конфигурации зон профилирования является величиной второго порядка малости. В ходе численного эксперимента потребовалась лишь две итерации,

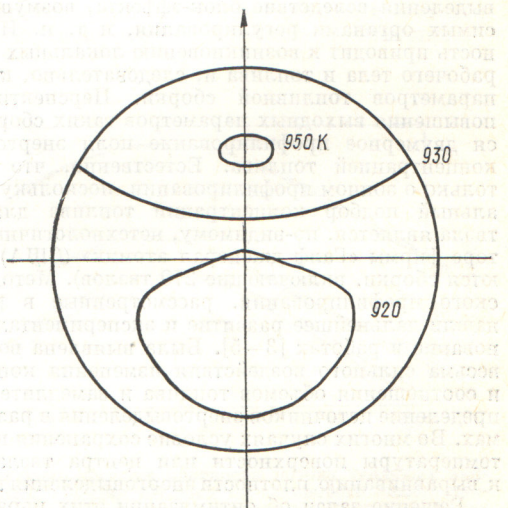


Рис. 4. Изотермы газа на выходе из профилированной сборки

чтобы погрешность в распределении энерговыделения не превосходила 2—3%.

В качестве иллюстрации предлагаемого метода рассмотрено профилирование топливного канала с гипотетическим полем энерговыделения.

#### Характеристика канала

|                          |      |
|--------------------------|------|
| Мощность, МВт            | 1,5  |
| Гелий:                   |      |
| расход, кг/с             | 0,85 |
| температура на входе, °С | 300  |
| Число твэлов в кассете   | 270  |
| Диаметр твэла, мм        | 7,2  |

Гипотетическое поле энерговыделения приведено на рис. 1, соответствующие ему изотермы газа на выходе — на рис. 2. С помощью трех концентраций топлива было осуществлено профилирование этого канала. Конфигурация зон профилирования приведена на рис. 3. На рис. 4 показаны соответствующие новому полу энерговыделения изотермы газа на выходе. Соотношение концентраций топлива в зонах следующее:  $C_1/C_{II}/C_{III} = 0,848/1/1,19$ . Таким образом, неравномерность выходного поля температуры газа уменьшилась с 1,27 до 1,13 (по подогреву). Это позволяет увеличить мощность топливной сборки почти на 10%.

Следует отметить, что предложенный метод устраняет радиальную и азимутальную неравномерность энерговыделения. Причем число твэлов с различной концентрацией топлива не больше, чем в случае радиального профилирования.

Поступило в Редакцию 13.III.78

УДК 543.52+614.73

## О допустимой мощности выбросов к обоснованию нормирования и контроля долгоживущих гамма-излучающих аэрозолей с АЭС

ДОРОШЕНКО Г. Г., ЛЕОНОВ Е. С., ЛЯПИНА З. Е., ФЕДОРОВ В. А., ШЛЯГИН К. Н.

Натурные измерения  $^{60}\text{Co}$  в почве в окрестностях НВАЭС дали следующее распределение его удельной активности по радиусу: 5; 4; 2; 1; 0,5 мКи/км<sup>2</sup> для расстояний 0,5; 1; 2; 3; 5 км соответственно. Оценка полной его активности в радиусе 5 км, полученная интегрированием, составила 97 мКи [1]. Это согласуется с результатом (113 мКи) измерений суммарного выброса за 10 лет эксплуатации НВАЭС с учетом физического распада  $^{60}\text{Co}$ .

Измерением послойных проб оценено распределение  $^{60}\text{Co}$  по глубине залегания в почве. Оно приближенно описывается экспонентой с показателем  $K = 0,5 \text{ см}^{-1}$ . Эти данные позволили рассчитать мощность экспозиционной дозы на расстоянии  $h = 1 \text{ м}$  от поверхности земли по формуле, приведенной в работе [2]:

$$P(E_0, h, K) = 1,44 \cdot 10^3 E_0 \gamma v f(E_0, h, K) F, \quad (1)$$

где  $E_0$  — энергия фотона, МэВ;  $\gamma$  — коэффициент электронного преобразования, см<sup>-1</sup>;  $v$  — квантовый выход,  $\gamma\text{-квант/расп.}$ ;  $F$  — удельная активность, мКи/км<sup>2</sup>;  $f$  — табулированная функция.

Рассчитанная мощность дозы  $P$  для указанных выше точек равна 0,86; 0,69; 0,34; 0,17; 0,086 мрад/год, что

## СПИСОК ЛИТЕРАТУРЫ

- Бедениг Д. Газоохлаждаемые высокотемпературные реакторы. Пер. с нем. М., Атомиздат, 1975.
- Винтерберг Ф. В кн.: Труды II Женевск. конф. Докл. ФРГ № 1055. М., Атомиздат, 1959, с. 453.
- Пономарев-Степной Н. Н., Глушков Е. С. «Атомная энергия», 1961, т. 11, вып. 1, с. 19; 1962, т. 12, вып. 5, с. 415; 1966, т. 20, вып. 6, с. 478.
- Пономарев-Степной Н. Н., Глушков Е. С., Носов В. И., Барков С. Н. Там же, 1970, т. 28, вып. 1, с. 58.
- Рудик А. П. Оптимальное расположение ядерного горючего. М., Атомиздат, 1974.
- Марковский Д. В., Хрипунов В. И., Шаталов Г. Е. Многогрупповой расчет гетерогенных реакторов методом Монте-Карло. Препринт ИАЭ № 2959. М., 1977.
- Сегаль М. Д. Расчет температурных полей в  $r_1\Phi_4z$ -геометрии в пористых средах с пространственной неравномерностью тепловыделения. Препринт ИАЭ № 2845. М., 1977.
- Сегаль М. Д. Краткое описание и инструкция к программе расчета полей температур и скорости. Препринт ИАЭ № 2785. М., 1977.
- Tzanos C. «Trans. Amer. Nucl. Soc.», 1976, v. 24, p. 495.
- Белл Д., Глесстон С. Теория ядерных реакторов. М., Атомиздат, 1974.

меньше 1% естественного радиационного фона для этого района [3].

На основе экспериментальных данных и в предположении постоянства распределения удельной активности  $F(R)$  при различной накопленной активности  $Q_0$  построена nomogramma (см. рисунок), в которой суточный выброс  $q$  связан с равновесным количеством полной активности соотношением

$$Q_0 = q T_{1/2} / \ln 2. \quad (2)$$

Из nomogramma следует, что в случае, если выброс обусловлен только  $^{60}\text{Co}$ , допустимая мощность выброса долгоживущих аэрозолей 0,5 Ки/сут [4] приводит к неоправданно высоким дозам на местности вблизи АЭС. Реальные уровни выбросов НВАЭС соответствуют 0,04 мКи/сут и максимальная мощность дозы на местности не превышает 1 мрад/год на расстоянии 0,5 км от АЭС. На этой основе предлагается установить рабочий уровень допустимой мощности выброса  $^{60}\text{Co}$  с АЭС таким, чтобы его равновесная активность не превышала 100 мКи, т. е. количества, накопленного во внешней среде вблизи НВАЭС. Так как измерять малую допустимую мощность выброса трудно и нет необходимости